

## SBHS400の構成則に関する実験的研究

川井健吾<sup>1</sup>・小野潔<sup>2</sup>・市川尚樹<sup>3</sup>・山田信司<sup>4</sup>・宮下剛<sup>5</sup>

<sup>1</sup>学会員 早稲田大学創造理工学術院 建設工学専攻(〒169-8555 東京都新宿区大久保3-4-1)

<sup>2</sup>正会員 博士(工学) 早稲田大学創造理工学部教授(〒169-8555 東京都新宿区大久保3-4-1)

<sup>3</sup>学会員 大阪大学大学院 工学研究科地球総合工学専攻(〒565-0871 大阪府吹田市山田丘2-1)

<sup>4</sup>非会員 大阪市立工業研究所(〒536-0025 大阪府大阪市城東区森之宮1丁目6-50)

<sup>5</sup>正会員博士(工学) 長岡技術科学大学(〒940-2137 新潟県長岡市上富岡町1603-1)

### 1. 目的

SBHS400 は高い溶接性や、高強度等、建設コストの縮減が可能であると考えられている。今後一般的な橋梁構造物に対して広く用いられることが期待される鋼材であるが、JIS 化された<sup>1)</sup>時期が遅くSBHS400 の繰り返し塑性履歴に関するデータは未だ十分とは言い難い。鋼構造物の耐震性能を評価するには幅広いデータの蓄積が必要である。しかし実験のみによって情報の蓄積を行うのはコスト等の問題から難しい。既往の研究<sup>2)</sup>によって鋼材の繰り返し塑性履歴を精度よく表現することができる構成則を用いれば、弾塑性有限解析により荷重-変位の履歴特性を精度よく再現できることが明らかになっている。そのため本研究では繰り返し載荷試験を行い、SBHS400 の応力-ひずみ関係、機械的性質の把握を行い、データの蓄積や整理を行った。また既往の研究における鋼材の構成則との比較も行った。

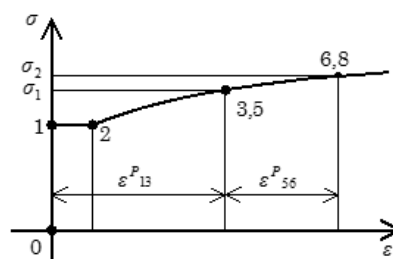


図-1 単調載荷曲線

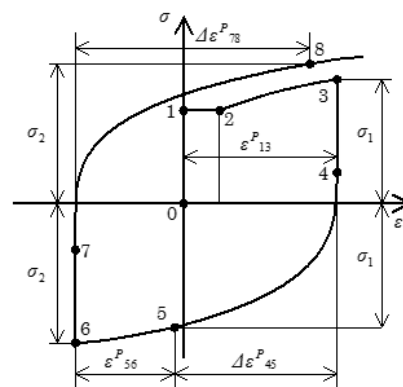


図-2 繰り返し載荷経路

### 2. 構成式の概要

弾塑性有限変位解析に用いる構成式の概要を説明する。単調載荷曲線の模式図を図-1に、繰り返しの載荷経路の模式図を図-2に示す。図-1の点0～8は図-2の点0～8に対応している(ただし点4, 7を除く)。図-2において、一軸状態における塑性履歴曲線の新能力-塑性ひずみの関係を0-1の初期弾性域、1-3, 5-6, 8以降の単調載荷曲線に準ずる領域、3-5, 6-8の遷移領域に分け、さらに単調載荷曲線に準ずる領域を1-2の降伏棚、2-3, 5-6, 8以降のひずみ硬化開

始後の領域に、遷移領域を3-4, 6-7の弾性域、4-5, 7-8の非線形遷移領域に分けて表現している。例えば、ここで応力の絶対値が $\sigma_1$ である点3まで載荷した後、除荷したとする。除荷が進み点5において応力の絶対値が再び $\sigma_1$ に達したとすると、点5から再載荷する点6までの部分は図-1の単調載荷の点5から点6までの部分と等価であると考えられる。

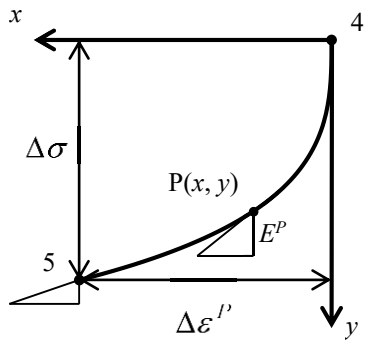


図-3 非線形遷移領域

(1) 単調載荷曲線に準ずる領域

ひずみ硬化領域の単調載荷曲線については、以下の式(1)によって示される。

$$\sigma = \frac{E_{st}^P}{b} e^{a \varepsilon^{P*}_{mon}} \ln(1 + b \varepsilon^{P*}_{mon}) + \sigma_y \quad (a \geq 0) \quad (1)$$

ここに、

$\varepsilon^{P*}_{mon}$  : ひずみ硬化開始点を原点とした単調載荷曲線上の塑性ひずみ

$E_{st}^P$  : ひずみ硬化勾配

$\sigma_y$  : 下降伏応力度

$a, b$  : 鋼材によって決まる定数

(2) 弾性遷移領域

鋼材が繰り返し塑性履歴を受けるとバウシニング効果により弾性域の大きさは初期弾性域の大きさより減少し、ある程度以上の繰り返し塑性履歴を受けると弾性域の大きさは一定値に収束することが明らかにされている。そこで、繰り返し塑性履歴にともなう弾性域の大きさの変化を以下の式(2)によって表現している。

$$\frac{\kappa}{\kappa_0} = \frac{1-c}{(\varepsilon^{P*}_{mon} + 1)^n} + c \quad (2)$$

ここに、

$\varepsilon^{P*}_{mon}$  : 単調載荷曲線上の塑性ひずみ

$\kappa$  : 弾性域の大きさ

$\kappa_0$  : 初期の弾性域の大きさ (=  $2\sigma_y$ )

$c, n$  : 鋼材によって決まる定数

(3) 非線形遷移領域

図-3に非線形遷移領域の模式図を示す。非線形遷移領域の開始点(点4)を原点とし、x軸に塑性ひずみ、y軸に真応力をとる。非線形遷移領域上の任意の点P(x, y)における接線塑性係数 $E^P$ を以下の式(3)で算

出している。

$$y = E_{0}^P \rho x + (\Delta \varepsilon^P E_{0}^P - \Delta \sigma) \left( \frac{x}{\Delta \varepsilon^P} \right)^{m+1} \left\{ (1+m) \ln \left( \frac{x}{\Delta \varepsilon^P} \right) - 1 \right\} \quad (3)$$

ここに、

$\Delta \varepsilon^P$  : 遷移領域の塑性ひずみの大きさ

$\Delta \sigma$  : 原点から非線形遷移領域終了点(点5)までの真応力の大きさ

$E_{0}^P$  : 非線形遷移領域終了点(点5)における接線塑性係数

$m$  : 非線形遷移領域の形状を表すパラメータ ( $-1 < m < 0$ )

単調載荷曲線上で荷重が反転した場合、遷移領域の塑性ひずみの大きさ $\Delta \varepsilon^P$ は、単調載荷曲線上の塑性ひずみ $\varepsilon^P_{mon}$ の関数として以下の式によって表現している。

$$\Delta \varepsilon^P = \frac{e}{d} \sqrt{(\varepsilon^P_{mon})^2 + 2d \varepsilon^P_{mon}} \quad (4)$$

ここに、

$d, e$  : 鋼材によって決まる定数

非線形遷移領域で荷重が反転した場合、遷移領域の塑性ひずみの大きさ $\Delta \varepsilon^P$ は式(5)で表現される。

$$\Delta \varepsilon^P = \frac{e}{d} \sqrt{(\varepsilon^P_{mon})^2 + 2d \varepsilon^P_{mon}} - \Delta \varepsilon^P_R \quad (5)$$

ここに、

$\Delta \varepsilon^P_R$  : 荷重が反転する点から非線形遷移領域終了点までの塑性ひずみの大きさ(%)

非線形遷移領域での反転例の模式図を図-4、図-5に示す。式(5)は、図-4において非線形遷移領域の点Rで荷重が反転した場合、次の非線形遷移領域の終了点(図中の点5')が前の荷重反転点(点3)と一致するようにしている。図-5のように、非線形遷移領域の点Rで荷重が反転した後、再度非線形遷移領域の点R'で荷重が反転しても、遷移領域の塑性ひずみの大きさ $\Delta \varepsilon^P$ は式で表現される。

非線形遷移領域の $m$ は、ひずみ硬化開始点を原点としたときの単調載荷曲線上の塑性ひずみ $\varepsilon^{P*}_{mon}$ の関数として以下の式で表現される。

$$m = \frac{f}{\varepsilon^{P*}_{mon} + \{1 + \exp(g)\}f} - 1 \quad (6)$$

ここに、

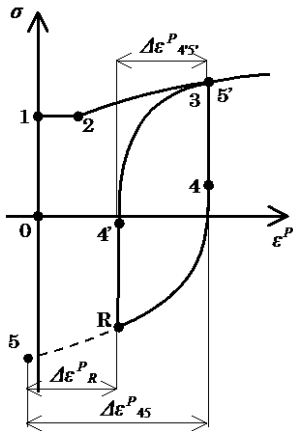


図-4 非線形遷移領域の反転(1)

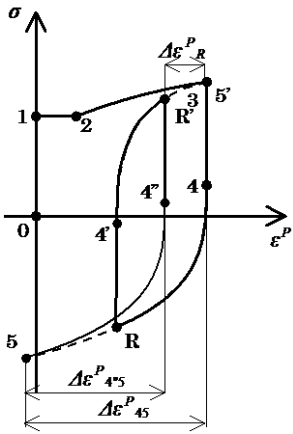


図-5 非線形遷移領域の反転(2)



写真-1 試験片



写真-2 試験状況

$$\left. \begin{aligned} \sigma &= \frac{P(1+\varepsilon^N)}{A} \\ \varepsilon &= \ln(1+\varepsilon^N) \\ \varepsilon^P &= \varepsilon - \varepsilon^e = \varepsilon - \frac{\sigma}{E} \end{aligned} \right\} (7)$$

$g, f$  : 鋼材によって決まる定数  
ただし、単調荷重曲線上の塑性ひずみが降伏棚の範囲であるときは一定値( $m = -0.01$ )とする。

### 3. 構成式に含まれる材料定数の決定

構成式に含まれる材料定数を求めるため、単調荷重実験、弾性域の大きさの減少を調べる実験、両振り実験の3種類の実験を行った。単調荷重実験、弾性域の大きさの減少を調べる実験、両振り実験は繰り返し荷重材料試験片を用いて、大阪市立工業研究所のデジタル油圧サーボ材料試験機(インストロン8801型)で行った。材料試験片は写真-1に示す平行部の幅が8mm、厚さが6mm、長さが25mmの平板試験片(板厚27mmの鋼板から製作)を用いた。繰り返し荷重試験状況を写真-2に示す。荷重は試験機に内蔵されたロードセルにより測定し、ひずみは平行部に取り付けた伸び計により測定する。構成式は真応力-塑性ひずみ関係で表現されている。実験から得られるデータは工学ひずみ、 $\varepsilon^N$ と荷重 $P$ であるため、以下の式(7)により $\varepsilon^N$ と $P$ を塑性ひずみ $\varepsilon^P$ と真応力 $\sigma$ に変換した後、構成式に含まれる材料定数の算出を行う。

ここに、

- $\varepsilon$  : 真ひずみ
- $\varepsilon^e$  : 弾性ひずみ
- $A$  : 試験片の断面積
- $E$  : 弾性係数

#### (1) 単調荷重実験

単調荷重を表現する構成式に含まれる材料定数は単調荷重実験より求める。図-6、図-7に実験により得られた $\sigma$ - $\varepsilon^P$ の関係を示す。単調荷重曲線に関する材料定数の求め方は、実験結果を真応力 $\sigma$ -塑性ひずみ $\varepsilon^P$ に変換した後、降伏応力 $\sigma_y$ 、降伏棚の長さ $\varepsilon_{st}^P$ 、ひずみ硬化勾配 $E_{st}^P$ を決定する。さらに、 $\varepsilon_{mon}^{P*} = \varepsilon_{mon}^P - \varepsilon_{st}^P$ により求めたひずみ硬化開始点を原点とした塑性ひずみ $\varepsilon_{mon}^{P*}$ と真応力 $\sigma$ で表現した実験データを、 $E_{st}^P$ 、 $\sigma_y$ を代入した式で回帰計算を行い、材料定数 $a, b$ を決定した。

#### (2) 弾性域の大きさの減少に関する材料定数

弾性域の大きさの減少に関する材料定数は、小さいひずみのステップで除荷と荷重を繰り返す実験を行う。図-8に弾性域の大きさの減少を調べた各鋼材の $\sigma$ - $\varepsilon^P$ の関係を示す。弾性域の大きさを決

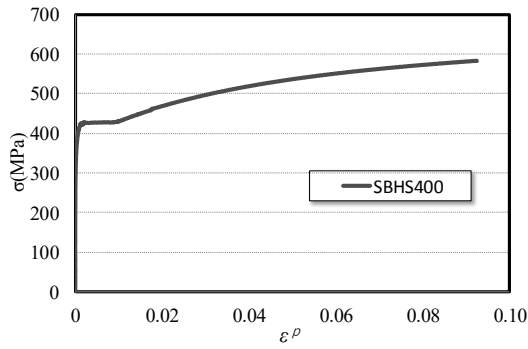


図-6 単調荷重実験

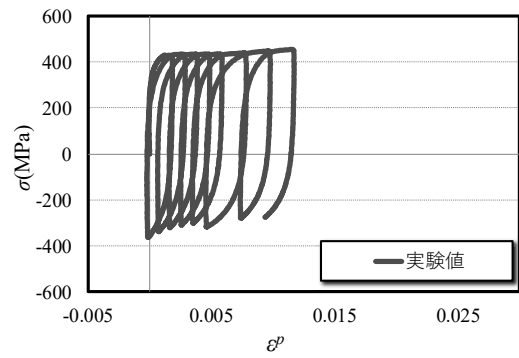


図-8 弾性域の大きさの減少を調べる実験

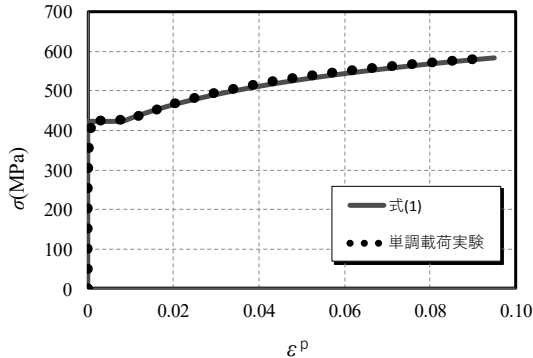


図-7  $\sigma$ - $\varepsilon^p$ 関係の実験値と構成式の比較

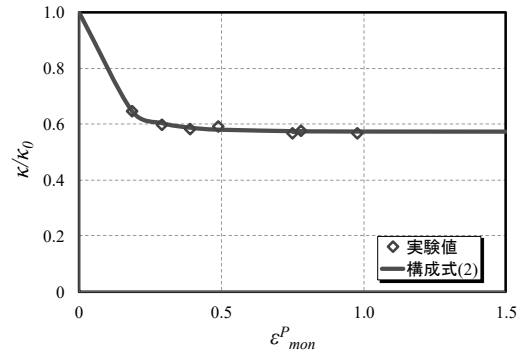


図-9  $\kappa/\kappa_0$ - $\varepsilon^p_{mon}$ 関係の構成式と実験値の比較

定するにあたり，除荷開始点から 0.03% オフセット法によって各除荷ループの弾性域の大きさ  $\kappa$  を求める．こうして求めた弾性域の大きさ  $\kappa$  を初期の弾性域の大きさ  $\kappa_0 (= 2\sigma_y)$  で割って無次元化して  $\kappa/\kappa_0$  と，それぞれの  $\kappa$  に対応する単調荷重曲線上の塑性ひずみ  $\varepsilon^p_{mon}$  との関係を図-9 に示す． $\varepsilon^p_{mon}$  と  $\kappa/\kappa_0$  の実験データを式に代入し，回帰計算により材料定数  $c$ ， $n$  を決定する．

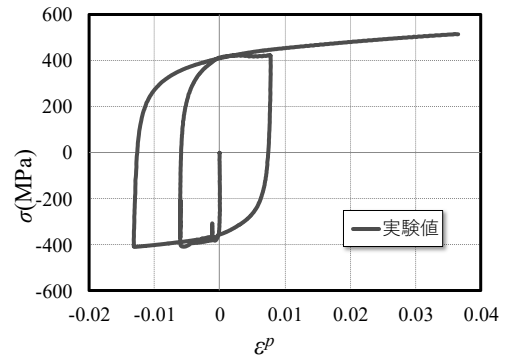


図-10 両振り実験

### (3) 両振り実験

非線形遷移領域に関する材料定数を求めるためには，正負のひずみを漸増する両振り実験を行う．図-10 に，両振り実験より得られる各鋼材の  $\sigma$ - $\varepsilon^p$  の関係を示す．両振り実験結果から，それぞれの除荷・荷重ループについて非線形遷移領域を取り出し，単調荷重曲線上の塑性ひずみ  $\varepsilon^p_{mon}$  と遷移領域の塑性ひずみの大きさ  $\Delta\varepsilon^p$  を求める．図-11 に，得られた  $\varepsilon^p_{mon}$  と  $\Delta\varepsilon^p$  の関係を示す． $\varepsilon^p_{mon}$  と  $\Delta\varepsilon^p$  の実験データを式に代入し，回帰計算により，材料定数  $d$ ， $e$  を決定する．

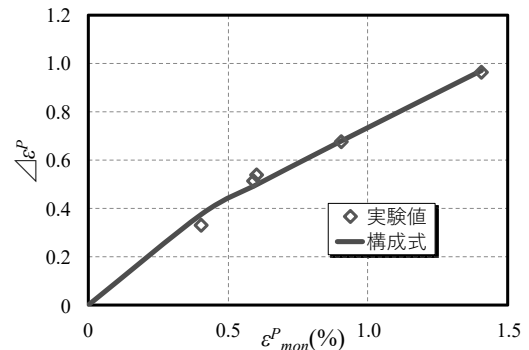


図-11  $\Delta\varepsilon^p$  -  $\varepsilon^p_{mon}$  関係の実験値と構成式の比較

非線形遷移領域の曲率に関するパラメータ  $m$  を表現する材料定数  $f$ ， $g$  に関しては，両振り実験結果と比較して曲率を精度良く表現できるように値を入力し，決定した．

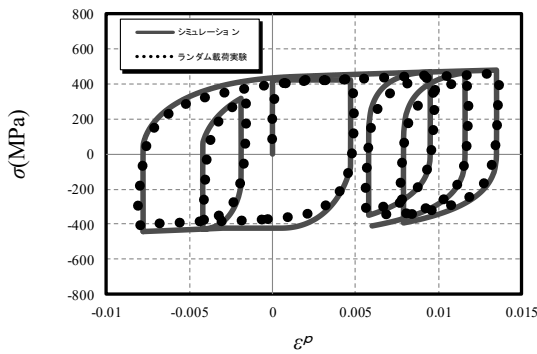


図-12 ランダム載荷実験と数値シミュレーションの比較

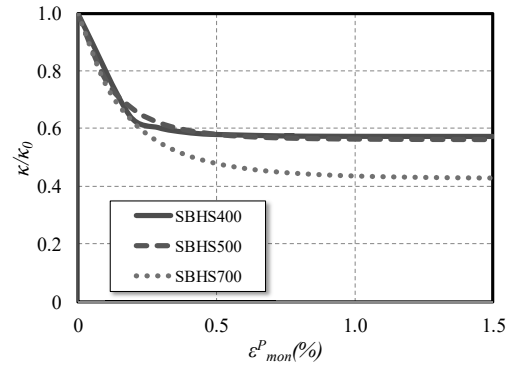


図-14  $\kappa/\kappa_0 - \varepsilon^P_{mon}$  関係の比較

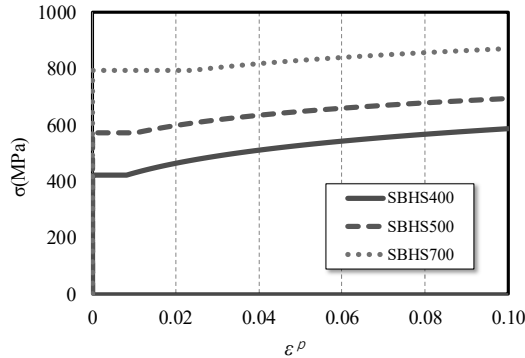


図-13  $\sigma - \varepsilon^P$  関係の比較

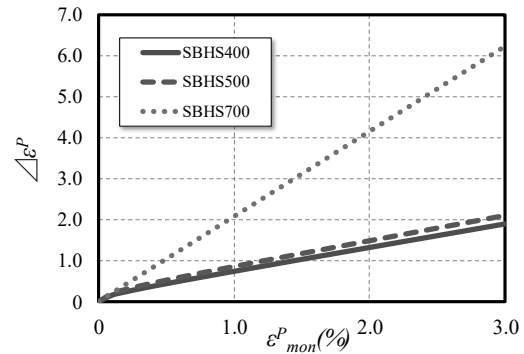


図-15  $\Delta\varepsilon^P - \varepsilon^P_{mon}$  関係の比較

表-1 各鋼材とひずみ硬化勾配の比較

鋼材	$E^P_{st}$ (MPa)
SBHS400	4391
SBHS500	3162
SBHS700	1775

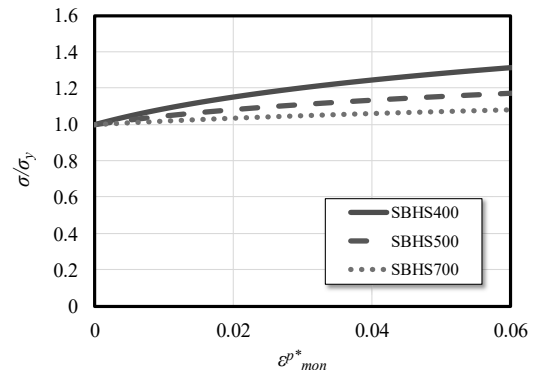


図-16 ひずみ硬化後の応力-ひずみ関係の比較

#### (4)ランダム載荷試験との比較

以上の実験結果から得られた材料定数を用いて鋼材の一般的な塑性履歴特性を再現できることを確認するため、荷重パターンを変化させたランダム載荷実験を行い数値シミュレーションと比較する。図-12 に実験値と構成式による計算値の比較を示す。図-12 よりランダム載荷での塑性履歴挙動を数値シミュレーションにより良好に再現出来ており、今回決定したSBHS400の材料定数を用いて鋼材の一般的な塑性履歴特性を再現できることを確認した。

#### 4. 既往の研究との比較

実験から得られたSBHS400の構成則を既往の研究<sup>3),4)</sup>で示されている構成則と比較した。図-13は単調載荷領域を表す構成式(式(1)) 図-14は弾性域の大きさの減少に関する構成式(式(2)), 図-15は非線形

遷移領域を表す構成式(式(4))を示す。図-13よりSBHS400はSBHS500, SBHS700よりも降伏点が低いことがわかる, また表-1, 図-16より降伏後のひずみ硬化の割合が大きく降伏後に応力が上昇しやすいといえる。図-15の非線形遷移領域においては同一ひずみでの非線形遷移領域の塑性ひずみの大きさ $\Delta\varepsilon^P$ はSBHS700の方が大きい傾向にみられた。このことからSBHS700の方が他の2つの鋼材に比べて非線形遷移領域において荷重を反転させた際に、ひずみの変化がより大きい段階で単調載荷曲線に準ずる領域に移行しやすいことがわかる。またそれぞれの材料試験結果から降伏比はSBHS400は79%<sup>5)</sup>, SBHS500は91%<sup>3)</sup>, SBHS700は97%<sup>6)</sup>であった。このことからSBHS400は他の鋼材に比べて降伏強度を受けたあとに、引張強度に到達するまで強度的に

余裕があることがわかる。

## 5. まとめ

繰り返し塑性履歴を受ける鋼材の繰り返し履歴特性の把握を行うためSBHS400の繰返し載荷材料試験を実施し、実験結果から鋼材の構成則を決定した。また決定した構成則を用いた数値シミュレーション結果と実験結果の比較により、本稿で決定した構成則を用いてSBHS400の繰返し塑性履歴を精度よく表現できることが確認できた。SBHS400,SBHS500,SBHS700の比較結果では本稿で対象にしたものに関してはSBHS700に比べてSBHS400, SBHS500のほうが繰返し載荷時に繰返し回数に応じて履歴ループが増大しやすい傾向にあることがわかった。

**謝辞：**本研究は、JSPS研究費 25420483および「日本鉄鋼連盟 鋼構造研究・教育助成事業(一般テーマ研究)」によって実施したものです。ここに記して謝意を表します。

## 参考文献

- 1) JIS G 3140：橋梁用鋼降伏点鋼板，2012.
- 2) 西村宣男，小野潔，池内智行：単調載荷曲線を基にした繰返し塑性履歴を受ける鋼材の構成式，土木学会論文集，No.513/I-31，pp.27-38，1995年4月.
- 3) S.HASHIMOTO, K.ONO and S.OKADA：An experimental study on mechanical properties and constitutive equation of SBHS500，eassec13-G-4-1，2013.
- 4) 橋本祥太，小野潔，北市さゆり，岡田誠司：繰返し塑性履歴を受けるSBHSの構成則に関する実験的研究，第16回性能に基づく橋梁等の耐震設計に関するシンポジウム公演論文集，pp.385-390，2013年7月.
- 5) 相澤宏行，小野潔，宮下剛，宮寄靖大：SBHS400の機械的性質に関する実験的研究，第31回日本道路会議，5016，2015.
- 6) 浜村圭太，小野潔，松村政秀，垂井敬寛，幸田真也：SBHS700を用いたハイブリッド鋼製短柱の耐力および変形能に関する実験的研究，第16回性能に基づく橋梁等の耐震設計に関するシンポジウム公演論文集，pp.391-394，2013年7月.